

# Ly $\alpha$ 光子輻射輸送の新たな計算法

筑波大学大学院 宇宙物理理論研究室

修士2年 久喜 奈保子

指導教官 梅村 雅之

# LAE (Lyman Alpha Emitter)

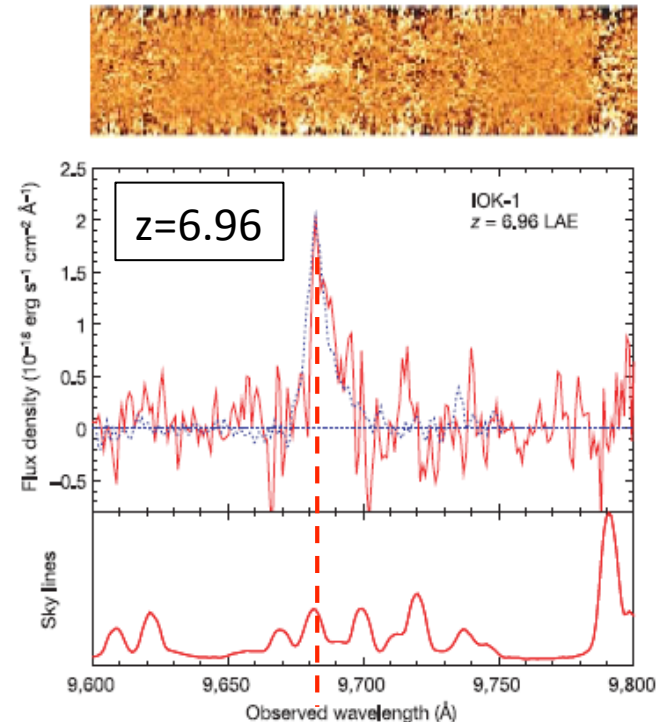
- 星形成が盛んな原始銀河はLy $\alpha$ 光子を多く放射(Partridge&Peebles 1967)
- Ly $\alpha$ 輝線で強く光っている高赤方偏移天体 = LAE (Iye et al. 2006)
- Ly $\alpha$ 光子：水素原子が $n=2 \rightarrow n=1$ に脱励起する際に放射される光子
- 波長：1216 Å (UV)
- 光学的厚み： $\tau \sim 10^{5-6}$

現在の銀河の進化史を知るためには、  
原始銀河であるLAEの性質を知ることが重要！

しかし、Ly $\alpha$ 光子は...

中性水素によって多重散乱され、  
ガスの速度場や密度場に依存するため輻射輸送が複雑。

⇒ その脱出機構は未だによくわかっていない。



# 研究動機

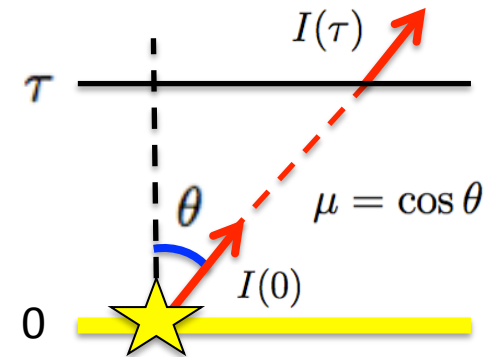
Ly $\alpha$ 光子の脱出機構を知るためには、輻射輸送方程式 (RTEq.) を解く必要がある。

RT eq.

$$I(\tau) = I(0) e^{-\tau/\mu} + \int_0^\tau e^{-(\tau-\tau')/\mu} S(\tau') \frac{d\tau'}{\mu}$$

等方散乱では、 $S(\tau) = \frac{\omega}{4\pi} \int I(\tau) d\Omega$      $\omega = \kappa/(\alpha + \kappa)$  : albedo

$\kappa$  : 散乱係数     $\alpha$  : 吸収係数



- ✓ 微積分方程式を解く必要があり、輻射輸送計算が非常に複雑。
- ✓ 光学的に厚い系において、現在はモンテカルロ法を用いた計算のみ。



ポストプロセスで解くことはできるが、  
時間変化する流体とのカップリングを考えることはできない。

LAEにおいて輻射輸送方程式を直接解く新たな計算法の開発を目指す。

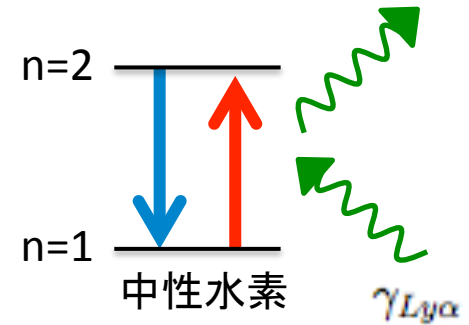
平行平板

- 1 Radiative Diffusion & Transfer scheme
- 2 振動数の再分配関数  $\eta(x_{in}, x_{out})$

# Ly $\alpha$ 光子の物理過程

# Ly $\alpha$ 光子の散乱機構

- ✓ 水素原子のEinstein係数が大きいいため、Ly $\alpha$ 光子は中性水素に吸収されてすぐに再放射 = 散乱



## 振動数シフト

$d \rightarrow d$  への散乱  $\cdots$  振動数は変化しない。  $\nu_{out} = \nu_{in}$

$d \rightarrow d'$  への散乱  $\cdots$  中性水素の熱運動によるDoppler効果で振動数が変化する。

入射の際の原子静止系：  $\nu_{rest} = \nu_{in} \left(1 - u_{\parallel} \frac{v_T}{c}\right)$

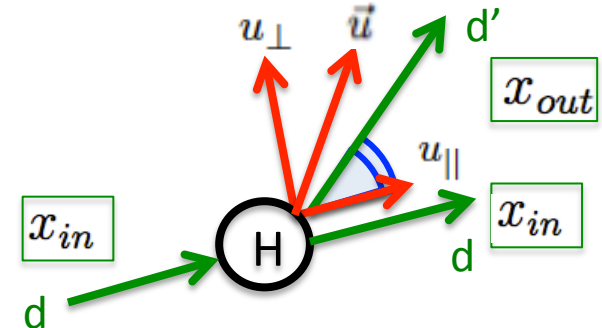
散乱後の実験室系：  $\nu_{out} = \nu_{rest} / \left(1 - \vec{u} \cdot \vec{d}' \frac{v_T}{c}\right)$

## 入射光子 $d$ に垂直/平行な中性水素の速度分布関数

(i) 垂直：Maxwell分布      (ii) 平行：Voigt プロファイル(後述)

$$g(u_{\perp}) = \frac{1}{\sqrt{\pi}} e^{-u_{\perp}^2}$$

$$f(u_{\parallel}) = \frac{a}{\pi H(a, x_{in})} \frac{e^{-u_{\parallel}^2}}{(x - u_{\parallel})^2 + a^2}$$



$$\text{振動数: } x = \frac{\nu - \nu_0}{\Delta\nu_D}$$

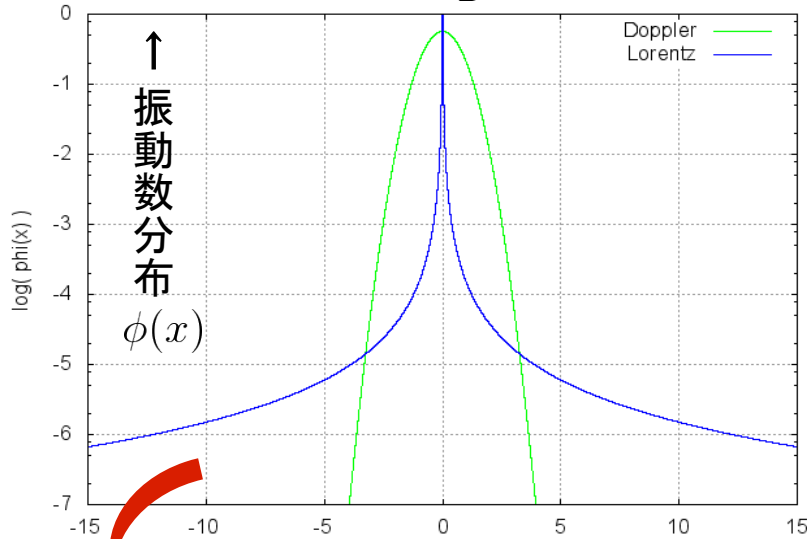
→ 原子の速度方向  
→ Ly $\alpha$ 光子の方向

本研究では、

$x_{in} \rightarrow x_{out}$  に振動数シフトするときの割合を表す分布関数として、安部さんが解析的に求めた 新たな再分配関数  $\eta(x_{in}, x_{out})$  を適用。

# ラインプロファイル

→ 振動数  $x = \frac{\nu - \nu_0}{\Delta\nu_D}$



— Dopplerプロファイル：熱運動

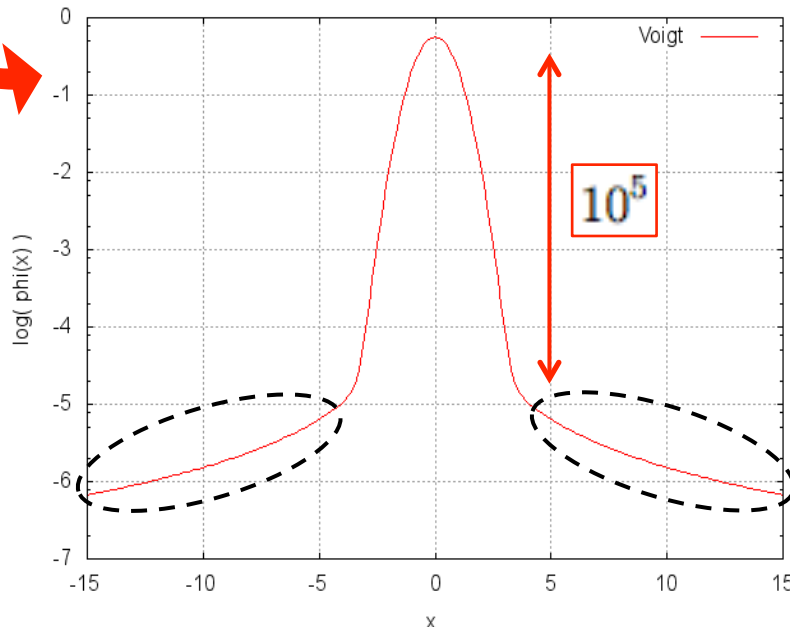
— Lorentzプロファイル：量子力学

## Voigtプロファイル

$$\phi(x) = \frac{1}{\sqrt{\pi}} H(a, x) \quad H(a, x) \equiv \frac{a}{\pi} \int_{-\infty}^{\infty} \frac{\exp(-y^2)}{a^2 + (x - y)^2} dy$$

$$a \equiv \frac{\gamma}{4\pi\Delta\nu_D} \quad \Delta\nu_D = \frac{v_T}{c} \nu_0 \quad y \equiv \frac{v_z}{v_T} \quad v_T \equiv \sqrt{\frac{2kT}{m}}$$

畳み込み積分



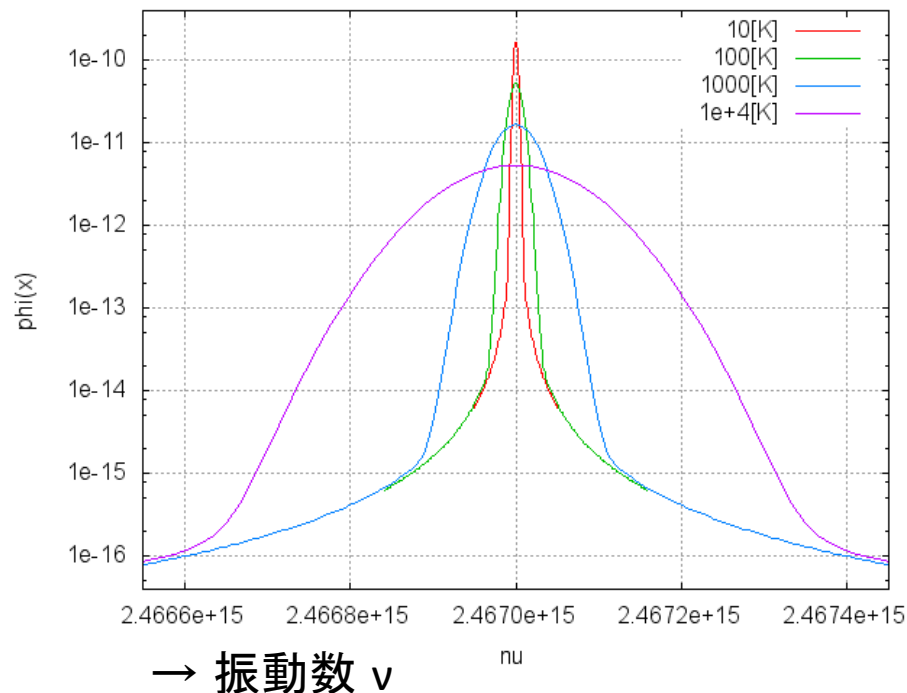
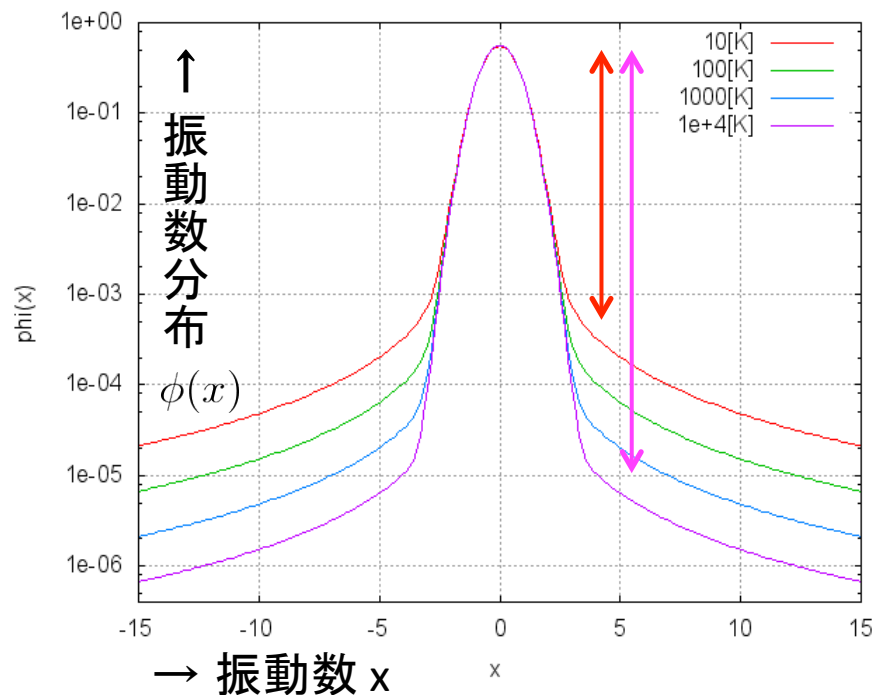
中性水素の散乱断面積：

$$\sigma_\nu = f_{12} \frac{\pi e^2}{m_e c} \frac{1}{\Delta\nu_D} \phi(x) \quad [\text{cm}^2]$$

振動子強度： $f_{12} = 0.4162$

⇒ coreで脱出できなくても、wingの光子は脱出できる。

# Voigtプロファイル



- ✓ 温度が上がると水素原子の熱運動が激しくなり、Doppler coreが広がる。
- ✓ coreとwingには10[K]で3桁、 $10^4$ [K]で5桁ほどの差がある。

# Voigtプロファイルの近似

Tasitsiomi (2006)

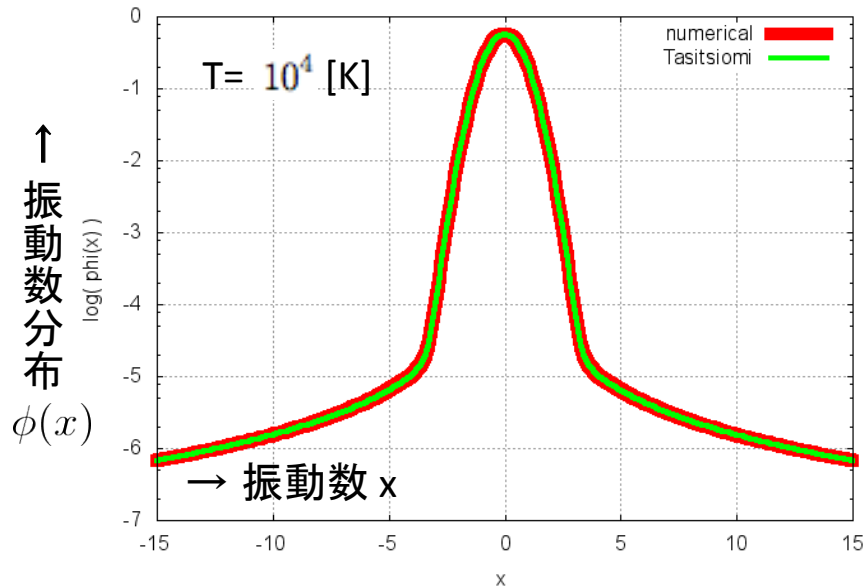
⇒ 1%以内の誤差で近似できている！

$$H(a, x) = q\sqrt{\pi} + e^{-x^2}$$

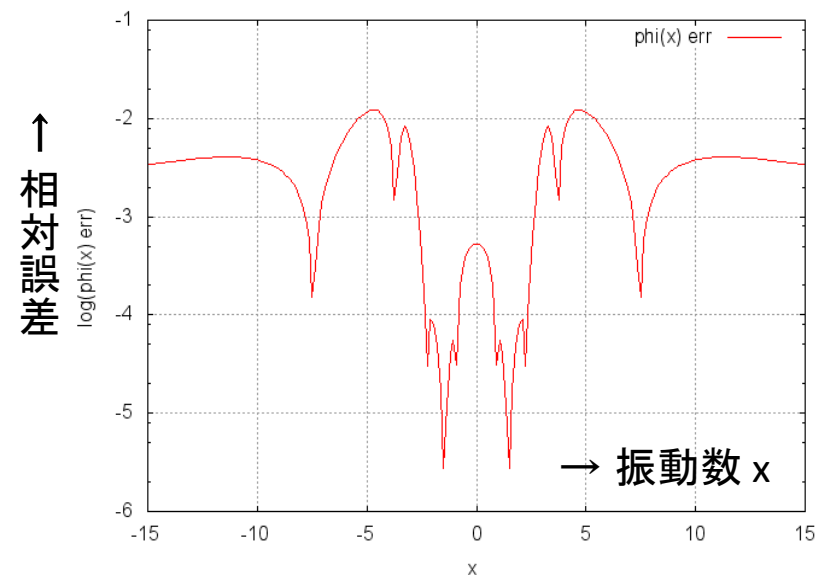
$$q = \begin{cases} 0 & \text{for } z \leq 0 \\ (1 + \frac{21}{x^2}) \frac{a}{\pi(x^2+1)} P(z) & \text{for } z > 0 \end{cases}$$

$$P(z) = 5.674z^4 - 9.207z^3 + 4.421z^2 + 0.1117z$$

$$z = \frac{x^2 - 0.855}{x^2 + 3.42}$$



▼ 数値積分した $\phi(x)$ との相対誤差





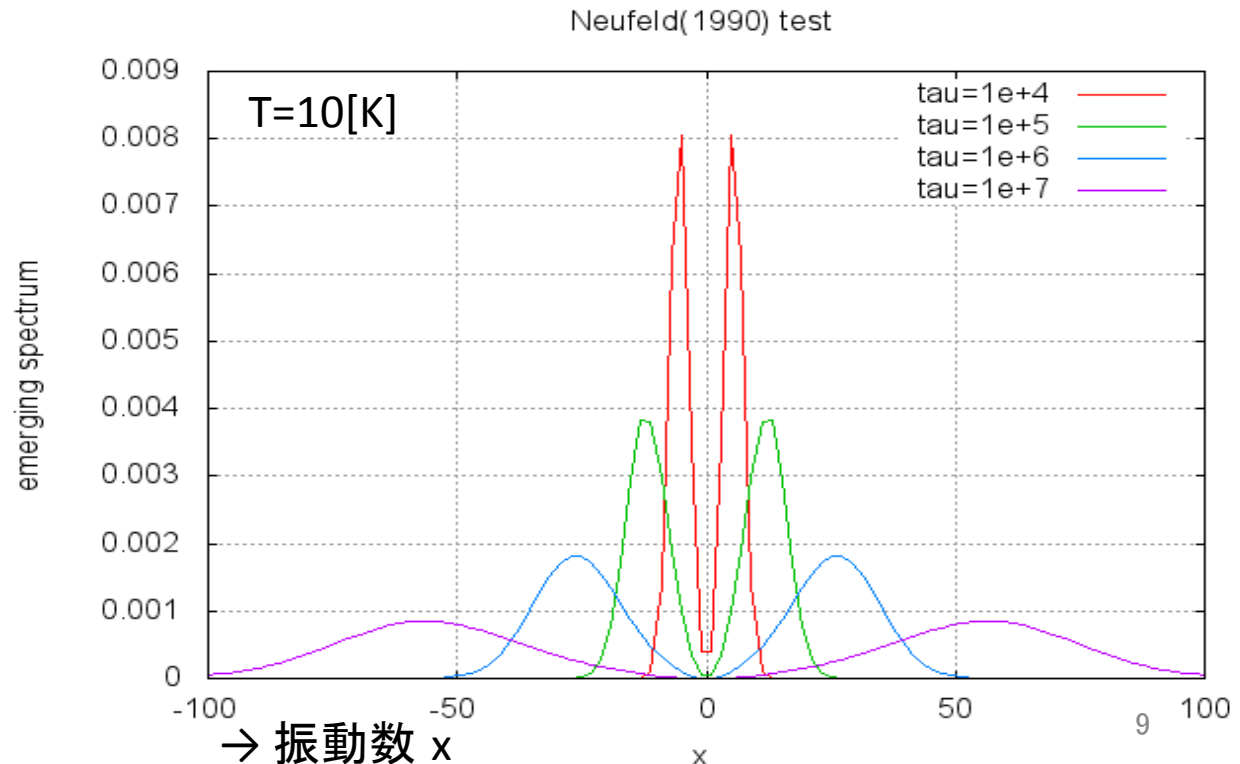
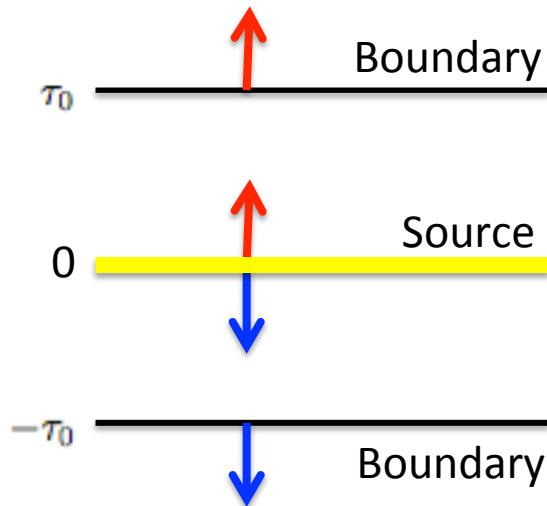
# 脱出光子スペクトルの解析解

Neufeld (1990)

$a\tau_0 \gg 1$  について、平行平板から脱出するLy $\alpha$ 光子のスペクトルを拡散方程式を解いて解析的に求めた近似解。(Lorentz wingのみ考慮)

$$J(x) = \frac{\sqrt{6}}{24} \frac{x^2}{\sqrt{\pi} a \tau_0} \frac{1}{\cosh \left[ \sqrt{\pi^3/54} (|x^3|/a\tau_0) \right]}$$

⇒ 計算コードと比較する。



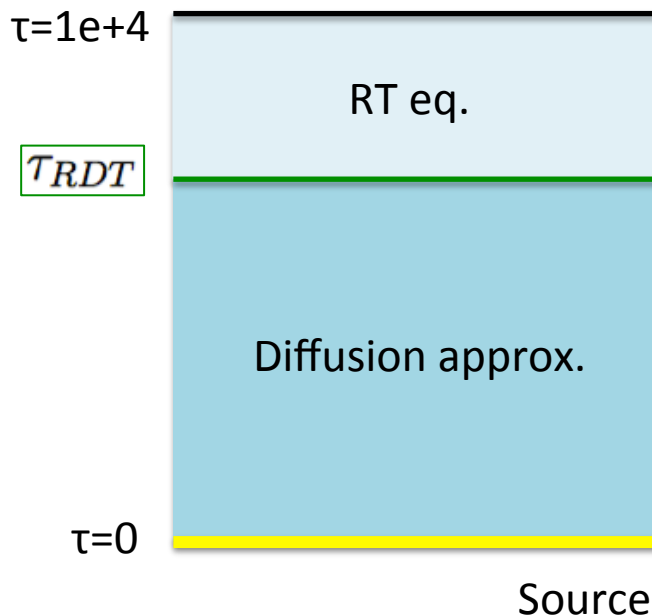
# 計算手法

# Radiative Diffusion & Transfer scheme

RTEq.を解く計算は非常に時間がかかり、光学的に厚い系を計算するのが困難。

→ 新たな計算法「RDT法」を開発。

RDT法 {  
内部 : 拡散方程式を解く  
表面 : 輻射輸送方程式を解く



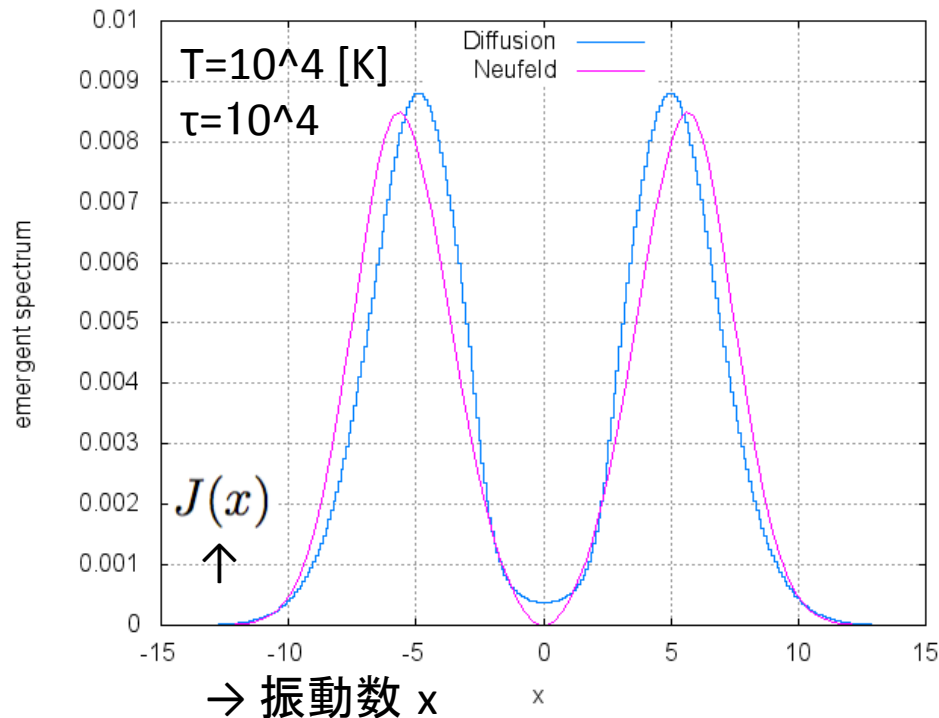
- ◎ 光学的に厚い場合、媒質内部では拡散近似を用いて輻射強度を求めることができる。
- ◎ 計算時間を大幅に短縮できる。
- ✓  $T_{RDT}$  を変えながらスペクトルを求めた。

# Diffusion Solver by Ken Czuprynski 氏

Voigtプロファイルを用いて拡散方程式を定式化し、数値的に解いた。

輝線の拡散方程式：

$$\frac{1}{3\phi(x)^2} \frac{\partial^2 J(x)}{\partial \tau^2} = J(x) - \epsilon B(x) - (1 - \epsilon) \frac{1}{\phi(x)} \int_{-\infty}^{\infty} R(x, x') J(x') dx'$$
$$\approx J(x) + \frac{1}{2\phi(x)} \frac{\partial}{\partial x} \left( \phi(x) \frac{\partial J(x)}{\partial x} \right)$$
$$\Leftrightarrow \frac{\partial^2 J}{\partial \tau^2} + (1 - \epsilon) \frac{3\phi(x)}{2} \frac{\partial}{\partial x} \left( \phi(x) \frac{\partial J}{\partial x} \right) = -3\phi(x)^2 \epsilon (J - B) \quad (\text{Harrington 73})$$



$R(x, x')$  : 再分配関数

$J(x)$  : 角度平均した輻射強度

$B(x)$  : 黒体輻射強度

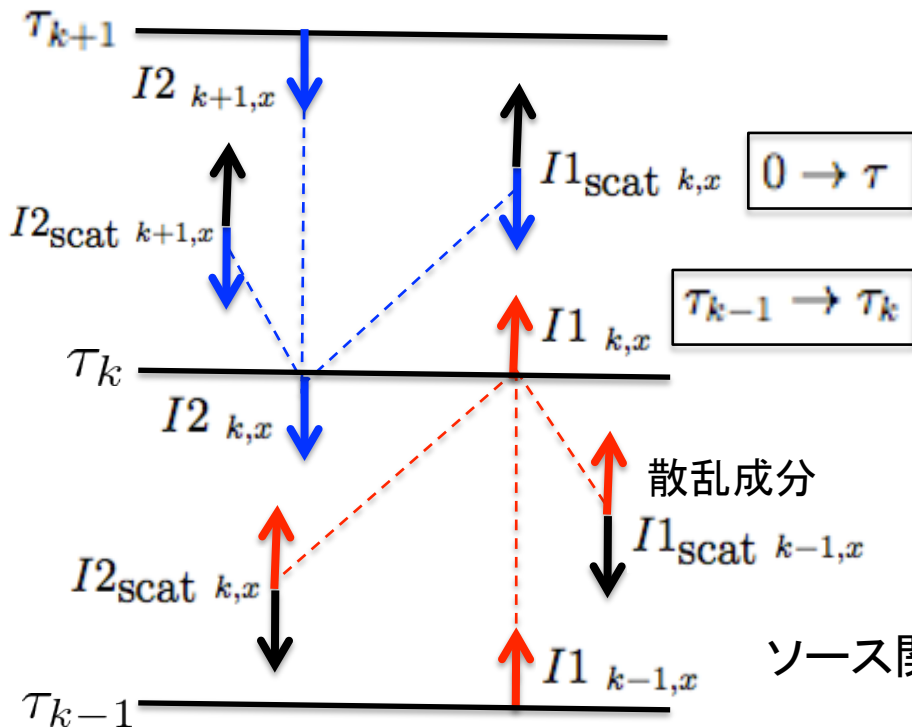
◎ Lorentzプロファイルでの近似をやめたので、スペクトルはNeufeld(1990)と異なり、より正確。

✓  $\mathcal{T}_{RDT}$  でのスペクトルとしてKen氏のDiffusionを解いたものを用いる。

# 輻射輸送方程式 定式化

~1次元 振動数シフトなし~

k: 空間 x: 振動数 n: 反復回数



$$I(\tau) = I(0) e^{-\tau/\mu} + \int_0^\tau e^{-(\tau-\tau')/\mu} S(\tau') \frac{d\tau'}{\mu}$$

$$I1_{k,x} = I1_{k-1,x} e^{-\Delta\tau_x} + \int_{\tau_{k-1,x}}^{\tau_{k,x}} e^{-(\tau_{k,x}-\tau_{k',x})} S_{k',x} d\tau_{k',x}$$

$$\sim S_{k',x} \int_{\tau_{k-1,x}}^{\tau_{k,x}} e^{-(\tau_{k,x}-\tau_{k',x})} d\tau_{k',x} = S_{k',x} (1 - e^{-\Delta\tau_x})$$

$$\Delta\tau = \tau_k - \tau_{k-1}$$

ソース関数:  $S_{k',x} = (1/2) \times [I1_{k-1,x} + I2_{k,x}]$

RT eq.

$$\uparrow I1_{k,x}^n = I1_{k-1,x}^{n-1} e^{-d\tau_x} + I1_{scat k-1,x}^{n-1} + I2_{scat k,x}^{n-1}$$

$$\downarrow I2_{k,x}^n = I2_{k+1,x}^{n-1} e^{-d\tau_x} + I2_{scat k+1,x}^{n-1} + I1_{scat k,x}^{n-1}$$

透過

散乱項

散乱項

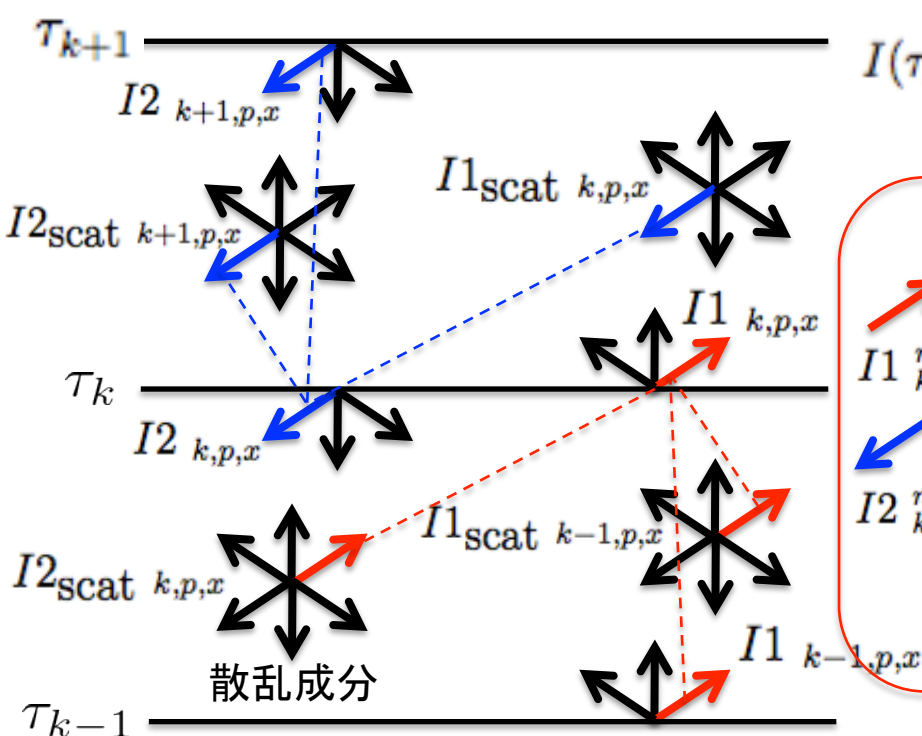
$$I1_{scat k,x}^n = (1/2) \times I1_{k,x}^n (1 - e^{-d\tau_x})$$

$$I2_{scat k,x}^n = (1/2) \times I2_{k,x}^n (1 - e^{-d\tau_x})$$

等方散乱

# 輻射輸送方程式 定式化

~3次元 振動数シフトあり~



$$I(\tau_k) = I(\tau_{k-1}) e^{-\Delta\tau/\mu} + \int_{\tau_{k-1}}^{\tau_k} e^{-(\tau_k - \tau'_k)/\mu} S(\tau'_k) \frac{d\tau'_k}{\mu}$$

RT eq.

$\mu$ : 角度

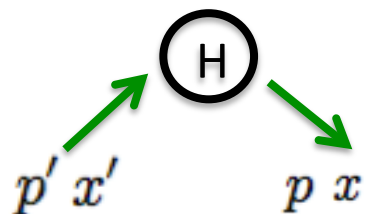
$$I1_{k,p,x}^n = I1_{k-1,p,x}^{n-1} e^{-d\tau_{p,x}} + I1_{\text{scat } k-1,p,x}^{n-1} + I2_{\text{scat } k,p,x}^{n-1}$$

$$I2_{k,p,x}^n = \underbrace{I2_{k+1,p,x}^{n-1} e^{-d\tau_{p,x}}}_{\text{透過}} + \underbrace{I2_{\text{scat } k+1,p,x}^{n-1} + I1_{\text{scat } k,p,x}^{n-1}}_{\text{散乱項}}$$

透過

散乱項

中性水素



散乱項

$$I1_{\text{scat } k,p,x}^n = (\Delta\Omega/4\pi) \times \sum_{x'} \sum_{p'} I1_{k,p',x'}^n (1 - e^{-d\tau_{p',x'}}) \times \eta(x', x, p', p)$$

$$I2_{\text{scat } k,p,x}^n = (\Delta\Omega/4\pi) \times \sum_{x'} \sum_{p'} I2_{k,p',x'}^n (1 - e^{-d\tau_{p',x'}}) \times \eta(x', x, p', p)$$

等方散乱

再分配関数

# 再分配関数 $\eta(\xi)$

Lausen+ 09

$x_{in} \rightarrow x_{out}$  に振動数シフトするときの割合を表す分布関数

入射光子  $\vec{d}$  に垂直/平行な中性水素の速度分布関数

(i) 垂直 : Maxwell分布      (ii) 平行 : Voigt プロファイル

$$g(u_{\perp}) = \frac{1}{\sqrt{\pi}} e^{-u_{\perp}^2} \quad f(u_{\parallel}) = \frac{b}{\pi H(b, x)} \frac{e^{-u_{\parallel}^2}}{(x - u_{\parallel})^2 + b^2}$$

Doppler シフト

$$\nu_{out} = \nu_{in} \left(1 - u_{\parallel} \frac{v_T}{c}\right) / \left(1 - \vec{u} \cdot \vec{d}' \frac{v_T}{c}\right) \sim \nu_{in} \left(1 - u_{\parallel} \frac{v_T}{c}\right) \left(1 + \vec{u} \cdot \vec{d}' \frac{v_T}{c}\right) \odot x_{in} \text{ が大きいと Gaussian 的に}$$

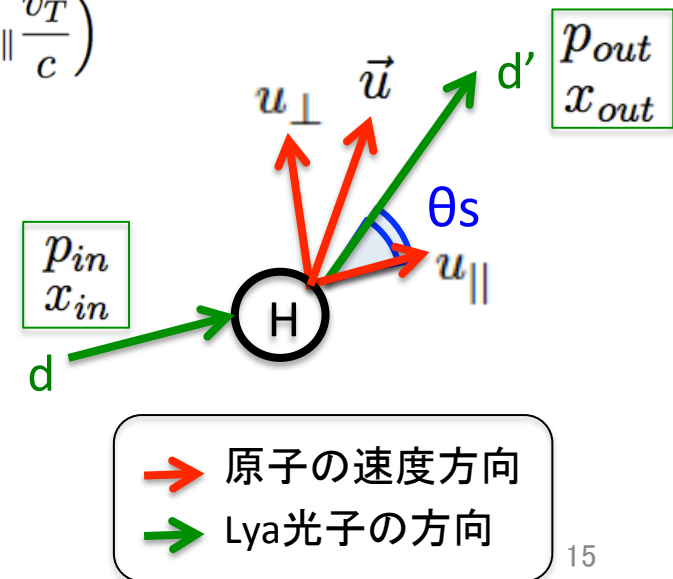
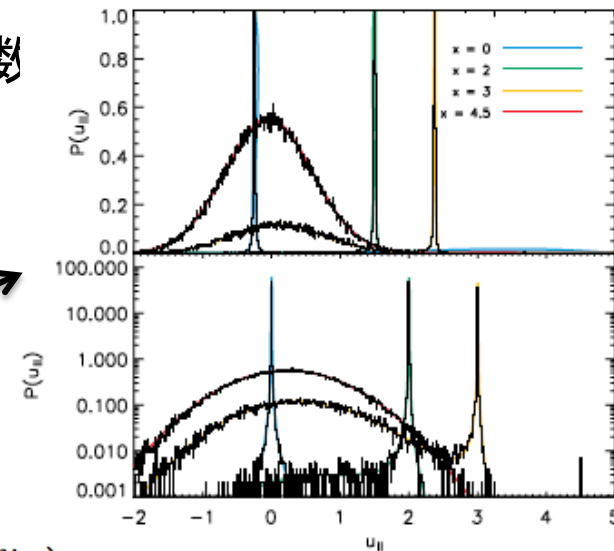
$$\sim \nu_{in} \left(1 + \vec{u} \cdot \vec{d}' \frac{v_T}{c} - u_{\parallel} \frac{v_T}{c}\right)$$

$$\frac{\nu_{out} - \nu_{in}}{\nu_{in}} \frac{c}{v_T} = (\cos \theta_s - 1) u_{\parallel} + \sin \theta_s u_{\perp} \equiv \xi$$

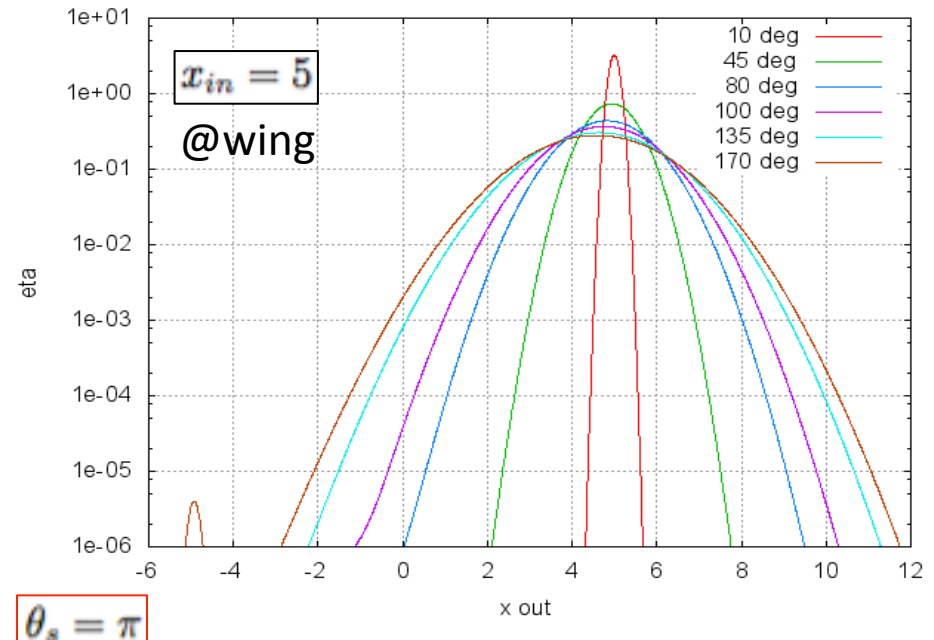
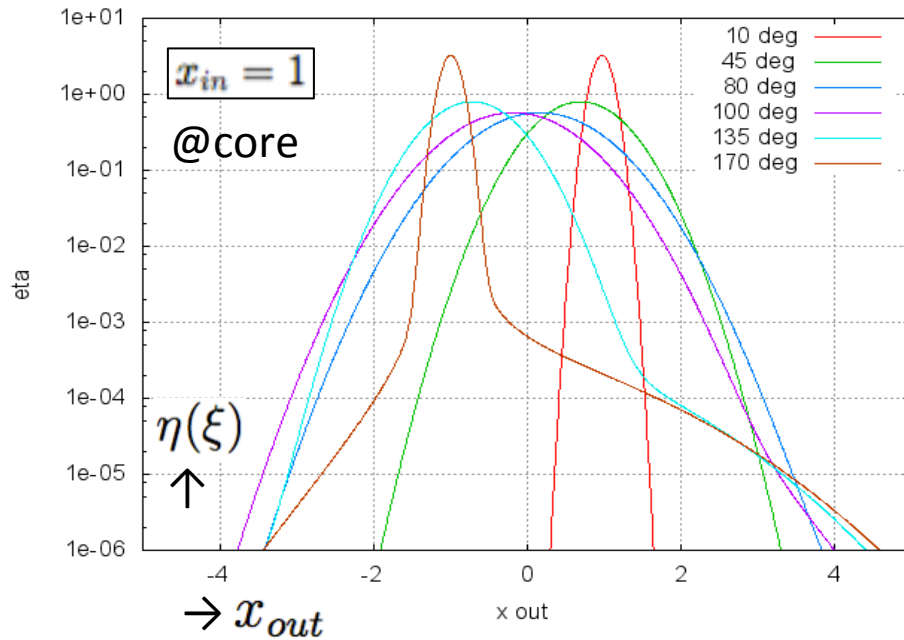
新たな再分配関数  $\eta(\xi)$  (Abe+ in prep.)

$$\eta(\xi) = \frac{1}{\sqrt{\pi} |\sin \theta_s|} \exp \left( -\frac{1}{\sin^2(\theta_s/2)} \xi^2 \right) \frac{H(b', x')}{H(b, x_{in})}$$

$$x' = \frac{x_{in} + \xi/2}{|\cos(\theta_s/2)|} \quad b' = \frac{b}{|\cos(\theta_s/2)|}$$

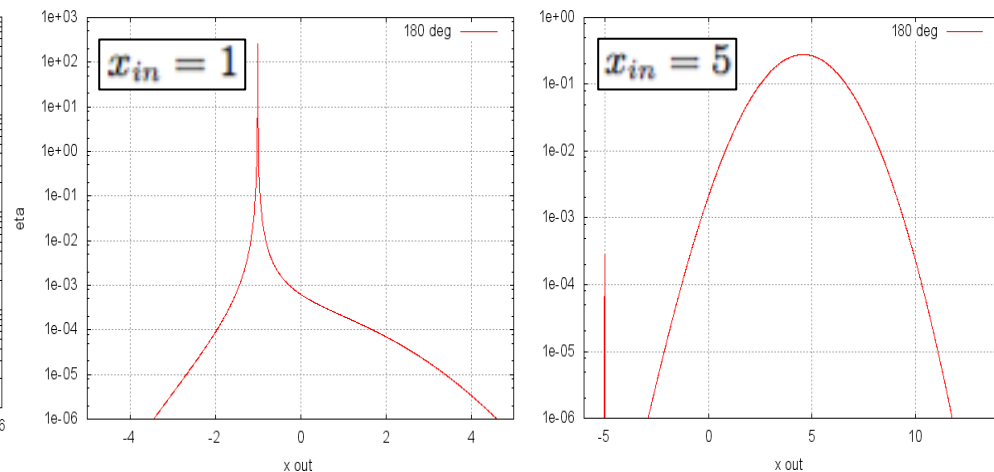
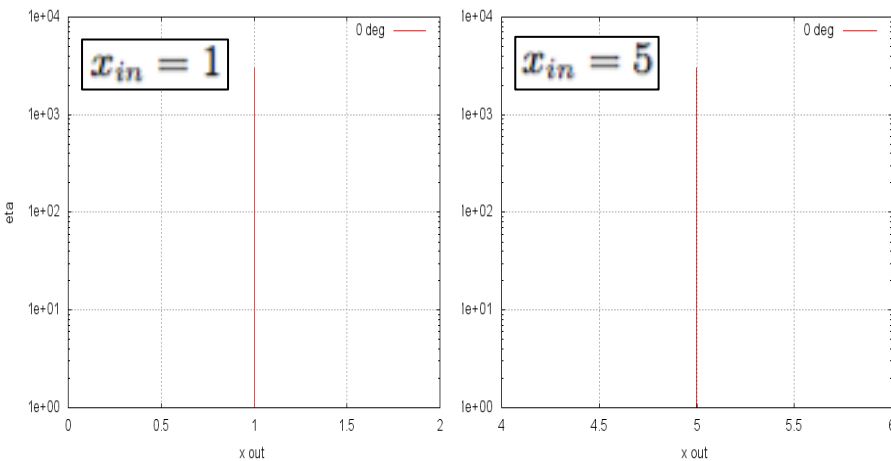


# 再分配関数 $\eta(\xi)$



$\theta_s = 0$  散乱前後で振動数シフトなし

$x_{in} = 1$  : 垂直方向の情報は入らないのでVoigt分布  
 $x_{in} = 5$  :  $x_{in}$  が大きいいためGaussian分布





# 計算手法 ～散乱項～

① 光子が散乱する方向を決め  $p_{in} \rightarrow p_{out}$ 、入射方向からの角度  $\theta_s$  を計算

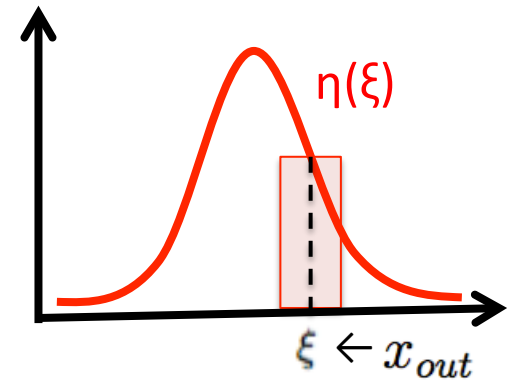
② 散乱後の振動数を決め  $x_{in} \rightarrow x_{out}$ 、 $\xi$  を計算  $\xi = \frac{\nu_{out} - \nu_{in}}{\nu_{in}} \frac{c}{v_T}$

③ 振動数シフトの再分配関数  $\eta(x_{in}, x_{out}, p_{in}, p_{out})$  を計算

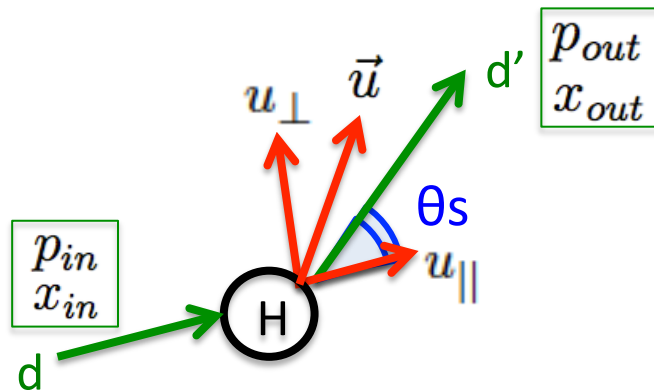
(i)  $\theta=0$   $\eta = \delta_{x_{out}, x_{in}}$

(ii)  $\theta=\pi$   $\eta = f(u_{\parallel} = -\xi/2)$

(iii) otherwise  $\eta(\xi) = \frac{1}{\sqrt{\pi} |\sin \theta_s|} \exp\left(-\frac{1}{\sin^2(\theta_s/2)} \xi^2\right) \frac{H(b', x')}{H(b, x_{in})}$



④  $x_{in}, p_{in}$  で入射したintensityに  $\eta(\xi)d\xi$  をかけた量が  $x_{out}, p_{out}$  で散乱する。



→ 原子の速度方向  
→ Lyα光子の方向

# 境界・収束条件

$$I_B \text{ err} \leq 0.01 \text{ で収束}$$

## 境界条件

- $k=0$  ( $\tau_{RDT}$ )

Ken氏の計算コードで拡散方程式を解いた結果のスペクトルを入れる。

$$I1^0_{p,x} = I_B(x)$$

- $k=N_k$  (境界面)

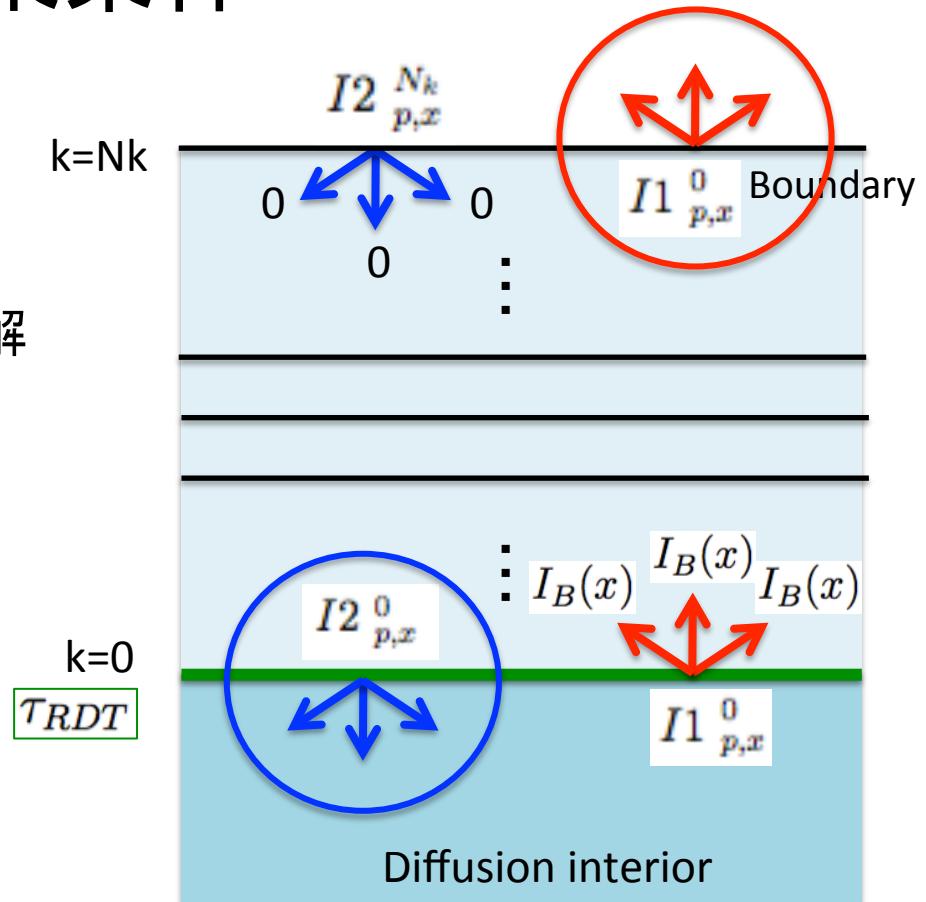
下向きintensityは常に0。

$$I2^{N_k}_{p,x} = 0$$

## 収束条件

- $k=0, N_k$  で出てきたintensityと始めに入れたintensityとの相対誤差が1%以下になったら定常状態とみなし、iterationを終了する。

$$I_B \text{ err} \leq 0.01 \quad I_B \text{ err} = \frac{|I1^{N_k}_{\Sigma p \Sigma j} + I2^0_{\Sigma p \Sigma j} - I_B \Sigma p \Sigma x|}{I_B \Sigma p \Sigma x}$$



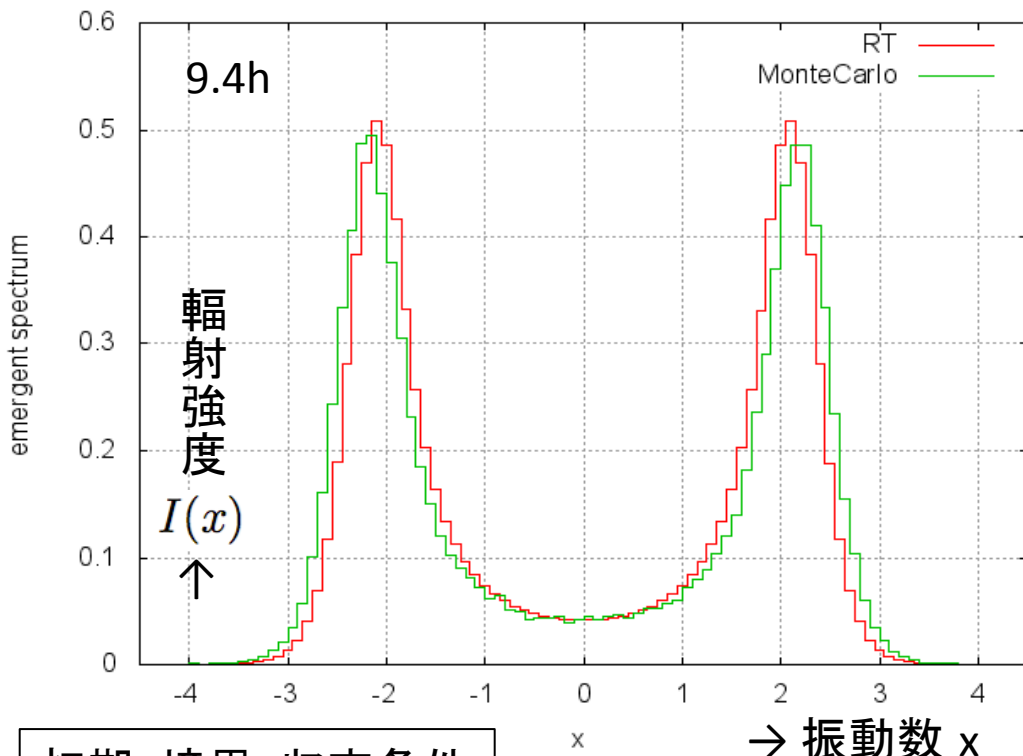
# 計算結果

$$T=10^4 \text{ [K]}$$

$$\tau=100$$

# 計算結果 RT

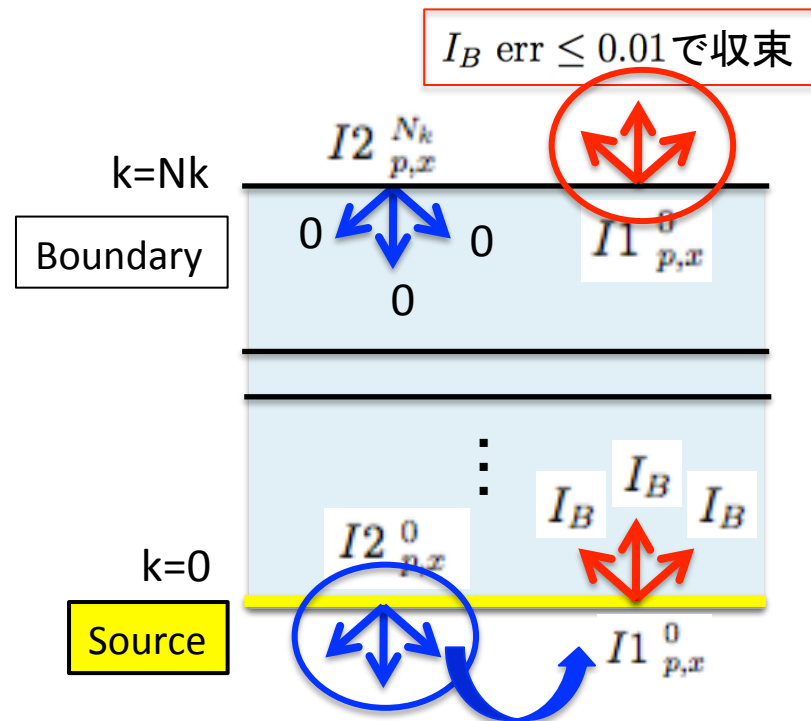
RTのみで  $\tau=100$  での平行平板から脱出するスペクトルを計算した。



初期・境界・収束条件

Iteration 1回目 :  $I1_{p,x_0}^0 = I_B$  (ラインセンターのみ)

$$\text{収束条件 : } I_B \text{ err} \leq 0.01 \quad I_B \text{ err} = \frac{|I1_{\Sigma p \Sigma j}^{N_k} - I_B \Sigma p \Sigma x|}{I_B \Sigma p \Sigma x}$$



2回目以降 : 反射

$$I1_{p,x}^0 = \begin{cases} I_B + I2_{p,x_0}^0 & (x = x_0) \\ I2_{p,x}^0 & (otherwise) \end{cases}$$

✓ Monte Carloとほぼ一致し、2ピークが再現できた。

→ 新たな再分配関数  $\eta(\xi)$  を用いて振動数シフトを解くことができる。

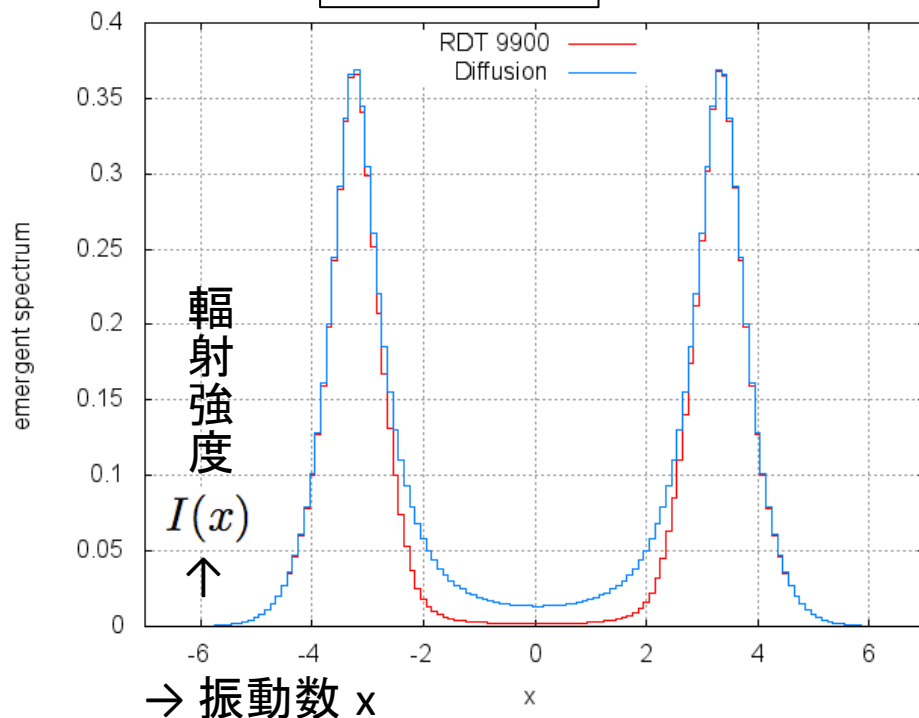
$T=10^4$  [K]

$\tau=10^4$

# 計算結果 RDT

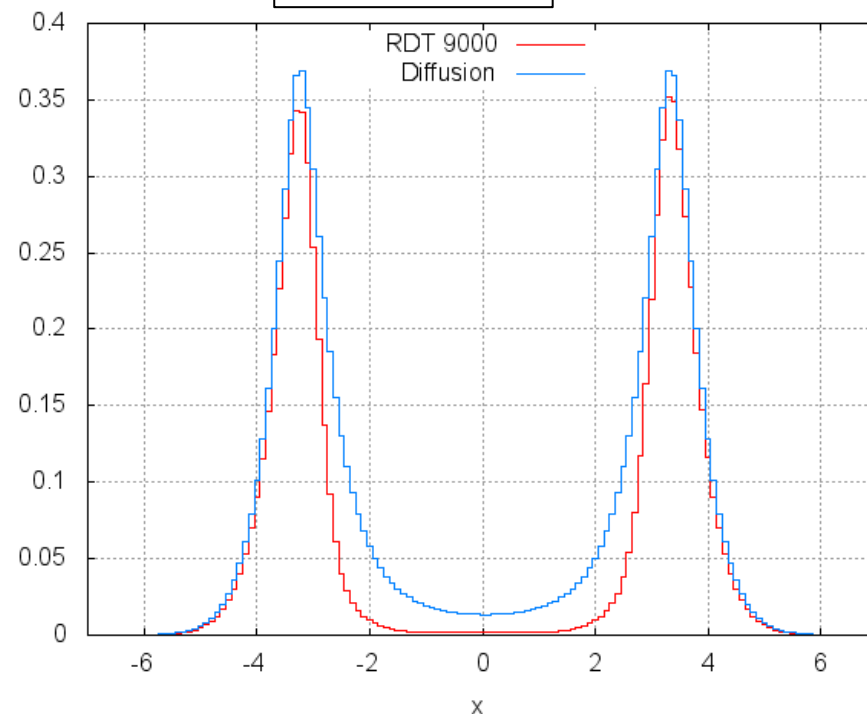
9900→1e+4

3min



9000→1e+4

5.3h



※ Diffusion の  $\tau = 9000 \sim 1e+4$  のスペクトルはほぼ変わらない。

《 RDT + Diffusion 》

- ✓ 表面をRTで解くと、ラインセンター付近は散乱されてスペクトルが削れる。
- ✓ 散乱してDiffusion領域に戻っている光子があるので、RTで解く領域が増えるとより散乱が効いて、光子フラックスが減少する。

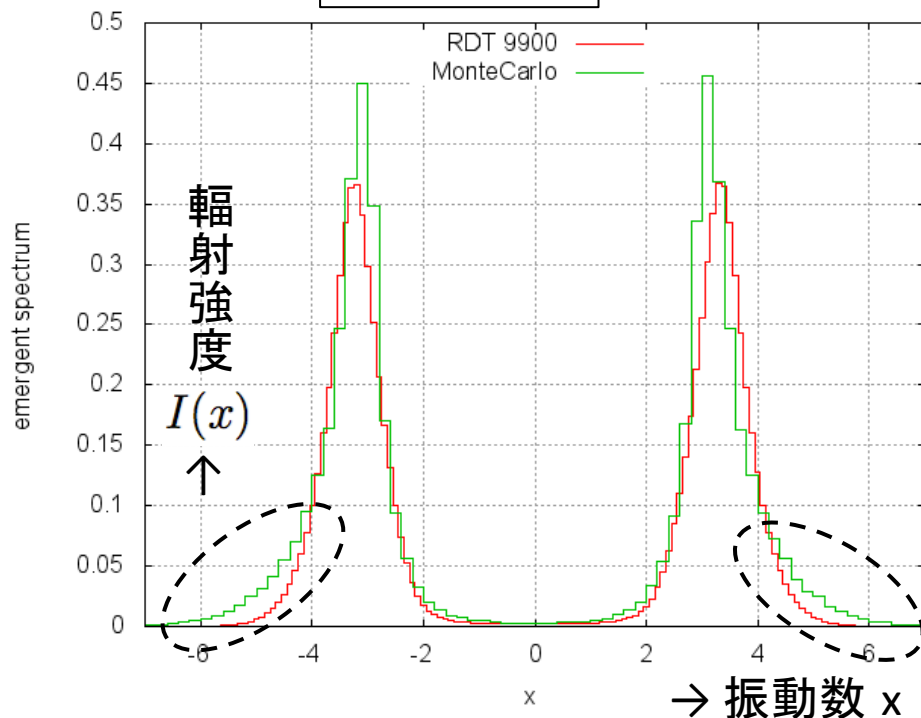
$T=10^4$  [K]

$\tau=10^4$

# 計算結果 RDT

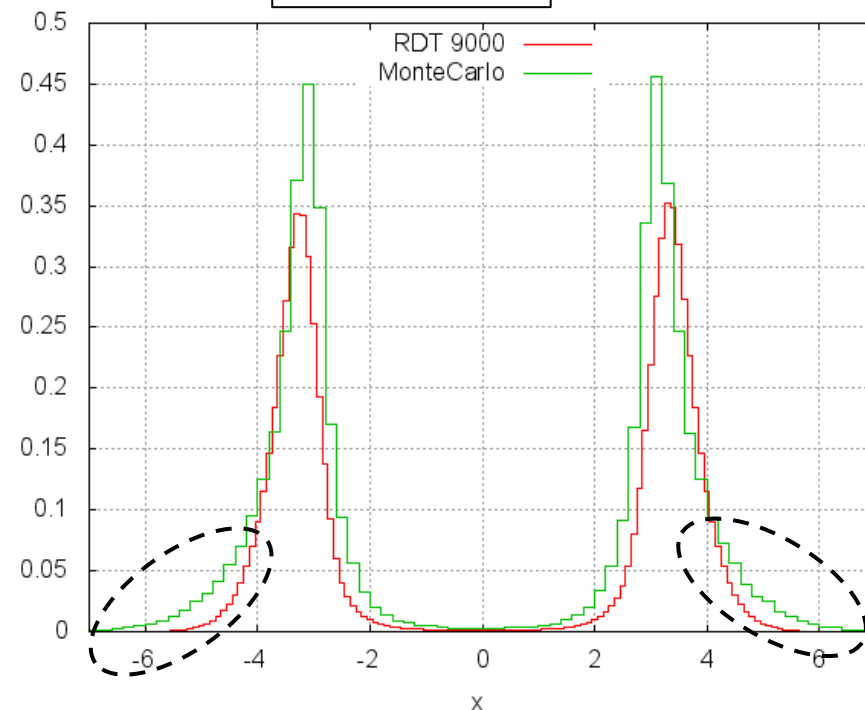
9900 $\rightarrow$ 1e+4

3min



9000 $\rightarrow$ 1e+4

5.3h



《 RDT + Monte Carlo 》

- ✓ RDT法を用いると、散乱が効いて光子がDiffusion領域に戻ることで、ラインセンター付近はMonteCarloのスペクトルに近づく。
- ✓ wingの振動数に対しては、系全体の  $\tau$  が十分大きくないのでDiffusion近似の限界が現れており、初期条件としてDiffusionが良くない可能性。  
→ より光学的に厚い計算の必要。

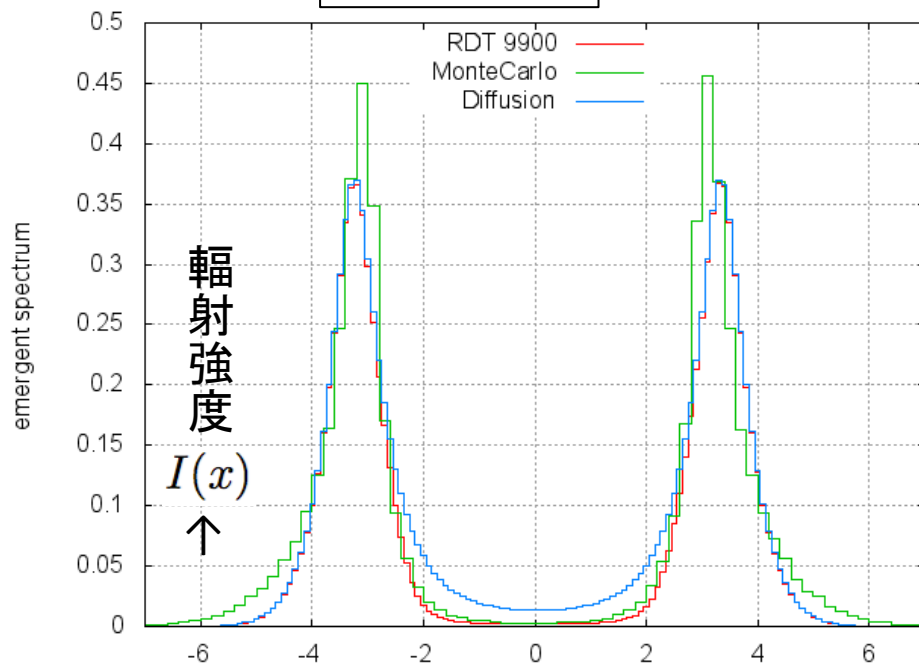
$$T=10^4 \text{ [K]}$$

$$\tau=10^4$$

# 計算結果 RDT

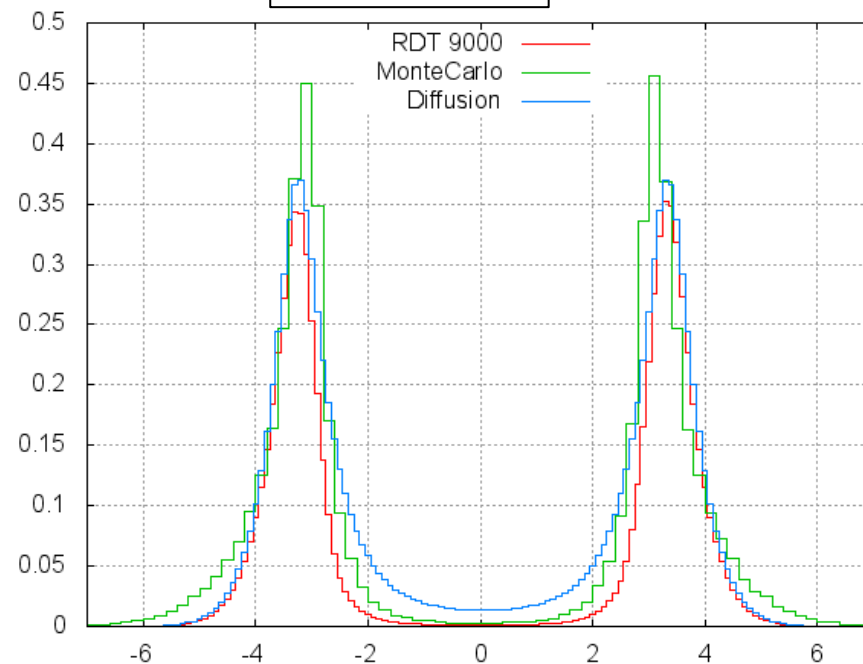
9900→1e+4

3min



9000→1e+4

5.3h



→ 振動数  $x$

※ 温度が高く、 $a\tau_0 \gg 1$  を満たさないため、Neufeld解とはずれる。

《 RDT + Diffusion + Monte Carlo 》

✓ RDT法を用いることによって、Diffusion近似で再現できていなかったラインセンター付近のスペクトルを再現することができた。

✓ スペクトルの形は、Monte Carloとも、 $\tau_{RDT}$  を変えても若干異なる。

→ 輻射力の評価にどこまで影響するか議論する必要がある。

( 輻射力  $\propto \sigma_\nu \times F_\nu$      $F_\nu$  : Flux     $\sigma_\nu$  : 散乱断面積 )

# まとめ

平行平板において、

「 **RDT法** + **新たな再分配関数 $\eta(\xi)$**  」  
を用いてスペクトルを求める計算コードを開発した。

- ✓ **RDT法**を用いることによって、Diffusionのみでは再現できなかったラインセンター付近のスペクトルを再現することができた。
- ✓ wingの振動数に対しては、初期条件としてDiffusionが良くない可能性がある。  
→ より光学的に厚い問題を解く。
- ✓ スペクトルの形は、Monte Carloとも、 $\tau_{RDT}$ を変えても若干異なる。  
→ 輻射流体を考えたときに、輻射力の評価にどこまで影響するか確かめる。